

पेपर का नाम Name of the Paper	<b>CHEMISTRY</b>	पेपर का कोड Paper Code	<b>41822</b>
रोल नं. Roll No.	अभ्यार्थी का नाम Name of Candidate		
केन्द्र का नाम Name of the Centre	अभ्यार्थी के हस्ताक्षर Signature of Candidate		

क्र. सं./Serial No.

समय: 2:00 घंटा

अधिकतम अंक: 120

Time: 2:00 Hours

Maximum Marks: 120

### अभ्यार्थी के लिए अनुदेश

- बुकलेट में ओएमआर शीट और दो सील हैं। अभ्यार्थी सबसे पहले ओएमआर शीट प्राप्त करने के लिए बुकलेट के सबसे ऊपर की सील हटाकर निकालें। दूसरी सील परीक्षा शुरू होने के दो मिनट पहले हटाइ जाएगी।
- परीक्षा शुरू करने से पहले अभ्यार्थी प्रश्नपत्र पुस्तिका और ओएमआर उत्तर-पत्रक पर अपना रोलनं. लिखना और निर्धारित स्थानों पर हस्ताक्षर करना सुनिश्चित करें।
- इस प्रश्नपत्र पुस्तिका में इस कवर पृष्ठ के अलावा कुल 120 प्रश्न हैं। रफ कार्य करने के लिए प्रश्न पत्र के अन्त में उपलब्ध खाली पृष्ठों का प्रयोग करें।
- प्रत्येक प्रश्न के लिए चार वैकल्पिक उत्तर (a), (b), (c) और (d) दिए गए हैं। अभ्यार्थी जिस एक उत्तर को सही समझता है, उसका चयन करने के बाद उत्तर-पत्रक में गोले को अंकित करेंगे।
- गोले को रंगने के लिए काले /नीले बॉल पेन का प्रयोग करें।
- निम्नलिखित उदाहरण देखें।

#### उदाहरण

1. 20 और 12 का जोड़ होता है

(a) 32 (b) 38 (c) 31 (d) 34

उपयुक्त प्रश्न का सही उत्तर (a) है, जिसे ओएमआर उत्तर-पत्रक में निम्नलिखित रूप में अंकित करें:

1	<input checked="" type="radio"/>	<input type="radio"/> b	<input type="radio"/> c	<input type="radio"/> d
---	----------------------------------	-------------------------	-------------------------	-------------------------

- आधा रंगा हुआ, हल्के रूप से अंकित, गोले में सही या गलत के निशान को ऑप्टिकल स्कैनर द्वारा इसे गलत उत्तर के रूप में पढ़ा जाएगा और इसे गलत माना जाएगा।
- परीक्षा कक्ष छोड़ने से पहले ओएमआर उत्तर पुस्तिका निरीक्षक को अवश्य सौंप दें।
- ओएमआर उत्तर पत्र को सीधे रखें। इसे मोड़ें आदि नहीं।
- सभी प्रश्न अनिवार्य हैं, प्रत्येक प्रश्न एक अंक का है।
- कैलकुलेटर/मोबाइल/कोई भी इलेक्ट्रॉनिक मद/आपत्तिजनक सामग्री के प्रयोग की अनुमति नहीं है।

### परीक्षा नियंत्रक

कृपया नोट करें कि अर्थ विभेद/दुविधा की स्थिति में अंग्रेजी में छपे प्रश्न को अंतिम माना जाएगा।

Please note that in case of any confusion, the question printed in English will be considered final.

### Controller of Examination

### INSTRUCTIONS TO THE CANDIDATES

- The booklet contains OMR sheet and having two seals. Candidates will first open the booklet by removing the seal at the top to get the OMR sheet. Second seal will be removed two minutes before the commencement of the examination.
  - Before starting the Examination, the candidate must write her/his Roll Number in the Question Booklet and the OMR Answer Sheet; in addition to putting signature at the places provided for the purpose.
  - This Question Booklet consists of this cover page, and a total 120 items. Use Blank pages available at the end of Question Booklet for rough work.
  - There are four alternative answers to each item marked as (a), (b), (c) and (d). The candidate will have to select one of the answers that is considered to be correct by her/him. S/he will mark the answer considered to be correct by filling the circle.
  - Use black/blue ball point pen to darken the circle.
  - See the following illustrations.
- Illustration:
- The sum of 20 and 12 is
    - (a) 32 (b) 38 (c) 31 (d) 34
 The Correct answer of item 1 is (a), which should be marked in OMR Answer Sheet as under:
- |   |                                  |                         |                         |                         |
|---|----------------------------------|-------------------------|-------------------------|-------------------------|
| 1 | <input checked="" type="radio"/> | <input type="radio"/> b | <input type="radio"/> c | <input type="radio"/> d |
|---|----------------------------------|-------------------------|-------------------------|-------------------------|
- Half filled, faintly darkened, ticked or crossed circles will be read as wrong answers by the optical scanner and will be marked as incorrect.
  - The OMR Answer Sheet must be handed over to the invigilator by the candidate before leaving the Examination Hall.
  - Keep OMR Sheet straight. Do not fold it.
  - All questions are compulsory, each question carries one mark.
  - Use of calculator/mobile/any electronic item/objectionable material is NOT permitted.



56. Aaditya can make 50 cakes in 25 hours, Aaditya and Arnav together can make 75 cakes in 15 hours. How many cakes Arnav can make in 15 hours?
- 25
  - 45
  - 20
  - 10
57. If 7 spiders make 7 webs in 7 days, then 1 spider will make 1 web in how many days?
- 1
  - $7/2$
  - 7
  - 49
58. Which of the set of three sides can't form a triangle?
- 5 cm, 6 cm, 7 cm
  - 5 cm, 8 cm, 15 cm
  - 8 cm, 15 cm, 18 cm
  - 6 cm, 7 cm, 11 cm
59. A point P lying inside a triangle is equidistant from the vertices of the triangle. Then the triangle has P as its:
- Centroid
  - Incentre
  - Orthocentre
  - Circumcentre
60. If angles of measure  $(5y + 62^\circ)$  and  $(22^\circ + y)$  are supplementary, then value of y is:
- $16^\circ$
  - $32^\circ$
  - $8^\circ$
  - $1^\circ$
56. आदित्य 25 घंटे में 50 केक बना सकते हैं, आदित्य और अर्णव मिलकर 15 घंटे में 75 केक बना सकते हैं। अर्णव 15 घंटे में कितने केक बना सकता है?
- 25
  - 45
  - 20
  - 10
57. यदि 7 मकड़ियाँ 7 दिन में 7 जाले बनाती हैं तो 1 मकड़ी 1 जाला कितने दिनों में बनाएगी?
- 1
  - $7/2$
  - 7
  - 49
58. तीन भुजाओं का कौन-सा समुच्चय त्रिभुज नहीं बना सकता?
- 5 सेमी, 6 सेमी, 7 सेमी
  - 5 सेमी, 8 सेमी, 15 सेमी
  - 8 सेमी, 15 सेमी, 18 सेमी
  - 6 सेमी, 7 सेमी, 11 सेमी
59. एक त्रिभुज के अंदर स्थित एक बिंदु P त्रिभुज के शीर्षों से समान दूरी पर है। तब त्रिभुज में P होता है:
- केन्द्रक
  - इनसेंटर
  - ऑर्थोसेंटर
  - सर्कमसेंटर
60. यदि माप के कोण  $(5y + 62^\circ)$  और  $(22^\circ + y)$  संपूरक हैं, तो y का मान है:
- $16^\circ$
  - $32^\circ$
  - $8^\circ$
  - $1^\circ$

61. The molecule with a  $C_2$  axis of symmetry among the following is \_\_\_\_\_
- $BH_2Cl$
  - $NH_2Cl$
  - $CH_3Cl$
  - $HOCl$
62. The molecule that will show Raman spectrum, but not IR spectrum, among the following is \_\_\_\_\_
- $H_2$
  - $HCl$
  - $BrCl$
  - $CS_2$
63. Enthalpy is equal to \_\_\_\_\_
- $TS + PV + \sum \mu_i n_i$
  - $TS + \sum \mu_i n_i$
  - $\sum \mu_i n_i$
  - $PV + \sum \mu_i n_i$
64. The number of inorganic sulfides in cubane like ferredoxin and their removal method, respectively, are \_\_\_\_\_
- eight and washing with an acid
  - four and washing with a base
  - eight and washing with a base
  - four and washing with an acid
65. The number of optically active stereoisomers possible for  $CH_3-CH(OH)-CH(OH)-CH(OH)-CH_3$  is
- 2
  - 4
  - 6
  - 8
61. निम्नलिखित में से अणु जिसमें  $C_2$  सममिति अक्ष है, वह है \_\_\_\_\_
- $BH_2Cl$
  - $NH_2Cl$
  - $CH_3Cl$
  - $HOCl$
62. निम्नलिखित में से अणु जो रमन स्पेक्ट्रम दिखायेगा परन्तु IR स्पेक्ट्रम नहीं, वह है \_\_\_\_\_
- $H_2$
  - $HCl$
  - $BrCl$
  - $CS_2$
63. एन्हैल्पी जिसके सामान है, वह है \_\_\_\_\_
- $TS + PV + \sum \mu_i n_i$
  - $TS + \sum \mu_i n_i$
  - $\sum \mu_i n_i$
  - $PV + \sum \mu_i n_i$
64. क्यूबेन जैसी फेरीडॉक्सिन में अकार्बनिक सल्फाइडों की संख्या तथा उनके पृथक्करण की विधि है क्रमशः \_\_\_\_\_
- आठ तथा एक अम्ल से धुलाई
  - चार तथा एक क्षार से धुलाई
  - आठ तथा एक क्षार से धुलाई
  - चार तथा एक अम्ल से धुलाई
65.  $CH_3-CH(OH)-CH(OH)-CH(OH)-CH_3$  के लिए सम्भावित ध्रुवण घूर्णी त्रिविम समावयवी हैं
- 2
  - 4
  - 6
  - 8

66. The pair that contains a spherical top and a symmetric top, among the following, is \_\_\_\_\_
- $\text{CH}_4, \text{CH}_2\text{Cl}_2$
  - $\text{CH}_2\text{Cl}_2, \text{CH}_3\text{Cl}$
  - $\text{CH}_3\text{Cl}, \text{CH}_4$
  - $\text{CH}_4, \text{C}(\text{CH}_3)_4$
67. The first ionization energy is the lowest for \_\_\_\_\_
- Br
  - Se
  - P
  - As
68. The most **unstable** complex on the basis of electro-neutrality principle among the following is
- $[\text{Al}(\text{OH}_2)_6]^{3+}$
  - $[\text{Al}(\text{NH}_3)_6]^{3+}$
  - $[\text{AlF}_6]^{3-}$
  - $[\text{Al}(\text{NCCH}_3)_6]^{3+}$
69. The IR spectrum of  $\text{Co}(\text{CO})_4\text{H}$  shows bands at 2121, 2062, 2043 and 1934  $\text{cm}^{-1}$ . The  $\nu_{\text{Co-D}}$  (in  $\text{cm}^{-1}$ ) expected in the spectrum of  $\text{Co}(\text{CO})_4\text{D}$  is
- 2111
  - 1396
  - 2053
  - 1910
70. In trigonal prismatic ligand field, the most stabilized  $d$  orbital is
- $d_z^2$
  - $d_{xy}$
  - $d_{zx}$
  - $d_{yz}$
66. निम्नलिखित में से युग्म जिसमें दोनों गोलीय टाप तथा सममित टाप हैं, वह है \_\_\_\_\_
- $\text{CH}_4, \text{CH}_2\text{Cl}_2$
  - $\text{CH}_2\text{Cl}_2, \text{CH}_3\text{Cl}$
  - $\text{CH}_4, \text{CH}_3\text{Cl}$
  - $\text{CH}_4, \text{C}(\text{CH}_3)_4$
67. प्रथम आयनीकरण ऊर्जा जिसके लिए न्यूनतम है, वह है \_\_\_\_\_
- Br
  - Se
  - P
  - As
68. इलेक्ट्रो-उदासीनता सिद्धान्त के आधार पर निम्नलिखित में से कौन सा संकुल सर्वाधिक अस्थाई है
- $[\text{Al}(\text{OH}_2)_6]^{3+}$
  - $[\text{Al}(\text{NH}_3)_6]^{3+}$
  - $[\text{AlF}_6]^{3-}$
  - $[\text{Al}(\text{NCCH}_3)_6]^{3+}$
69.  $\text{Co}(\text{CO})_4\text{H}$  के स्पेक्ट्रम में 2121, 2062, 2043 तथा  $1934 \text{ cm}^{-1}$  पर बैंड दिखते हैं।  $\text{Co}(\text{CO})_4\text{D}$  के स्पेक्ट्रम में  $\nu_{\text{Co-D}}$  ( $\text{cm}^{-1}$  में) प्रत्याशित है
- 2111 पर
  - 1396 पर
  - 2053 पर
  - 1910 पर
70. त्रिसमनताक्ष प्रिज्मीय लिंगोंड क्षेत्र में सर्वाधिक स्थायित्व प्राप्त करने वाला  $d$ -कक्षक है
- $d_z^2$
  - $d_{xy}$
  - $d_{zx}$
  - $d_{yz}$

71. The band in the electronic spectrum of  $I_2$  appearing at 520 nm will undergo maximum blue shift in
- water
  - hexane
  - benzene
  - methanol
72. Boron in  $BCl_3$  has
- $sp$  hybridization
  - $sp^2$  hybridization
  - $sp^3$  hybridization
  - No hybridization
73. The number of degenerate spatial orbitals of a hydrogen-like atom with principal quantum number  $n = 6$  is
- 12
  - 6
  - 72
  - 36
74. If  $[\hat{A}, \hat{B}] = 0$  and  $[\hat{A}, \hat{C}] = 0$ , then which of the following necessarily holds: [ $\hat{A}, \hat{B}$  and  $\hat{C}$  are operators]
- $[\hat{B}, \hat{C}] = 0$
  - $[\hat{A}, \hat{BC}] = 0$
  - $[\hat{B}, \hat{AC}] = 0$
  - $[\hat{C}, \hat{AB}] = 0$
71.  $I_2$  के इलेक्ट्रॉनिक स्पेक्ट्रम में 520 nm पर उपस्थित बैंड, जिसमें सर्वाधिक ब्लूशिफ्ट सहत है, वह है
- जल
  - हेक्सेन
  - बेंजीन
  - मेथनॉल
72.  $BCl_3$  में बोरोन का संकरण है
- $sp$  संकरण है
  - $sp^2$  संकरण है
  - $sp^3$  संकरण है
  - कोई संकरण नहीं
73. हाइड्रोजन जैसे परमाणु की मुख्य क्वांटम संख्या  $n = 6$  के लिए अपभ्रष्ट त्रिविम आर्बिटलों की संख्या है
- 12
  - 6
  - 72
  - 36
74. यदि  $[\hat{A}, \hat{B}] = 0$  तथा  $[\hat{A}, \hat{C}] = 0$  है, तो निम्नलिखित में से कौन सा निश्चित रूप से लागू होता है: [ $\hat{A}, \hat{B}$  तथा  $\hat{C}$  ऑपरेटर हैं]
- $[\hat{B}, \hat{C}] = 0$
  - $[\hat{A}, \hat{BC}] = 0$
  - $[\hat{B}, \hat{AC}] = 0$
  - $[\hat{C}, \hat{AB}] = 0$

75. If the atoms/ions in the crystal are taken to be hard spheres touching each other in the unit cell, then the fraction of volume occupied in the body centered cubic structure is
- $\sqrt{3} \pi$
  - $\frac{\sqrt{2} \pi}{6}$
  - $\frac{\pi}{6}$
  - $\frac{\sqrt{3} \pi}{8}$
76. The pressure inside ( $P_{in}$ ) a spherical cavity with a radius  $r$  formed in a liquid with surface tension  $\gamma$  is related to the external pressure ( $P_{out}$ ) as
- $P_{in} = P_{out} - \frac{2\gamma}{r}$
  - $P_{in} = P_{out} + \frac{2\gamma}{r}$
  - $P_{in} = P_{out} - \frac{\gamma}{r}$
  - $P_{in} = P_{out} + \frac{\gamma}{r}$
77. The separation of the (123) planes of an orthorhombic unit cell is 3.12 nm. The separation of (246) and (369) planes are, respectively,
- 1.56 nm and 1.04 nm
  - 1.04 nm and 1.56 nm
  - 3.12 nm and 1.50 nm
  - 1.04 nm and 3.12 nm
78. If the specific conductance of an electrolyte solution is  $0.2 \Omega^{-1} cm^{-1}$  and cell constant is  $0.25 cm^{-1}$ , the conductance of the solution is
- $1.25 \Omega^{-1}$
  - $1.00 \Omega^{-1}$
  - $0.80 \Omega^{-1}$
  - $2.00 \Omega^{-1}$
75. क्रिस्टल की एकक सेल में परमाणुओं/आयनों को एक दूसरे को स्पर्श करते हुए कठोर गोले लिया जाए, तो काय केंद्रित धन संरचना में अधिकृत आयतन के लिए भिन्न है।
- $\sqrt{3} \pi$
  - $\frac{\sqrt{2} \pi}{6}$
  - $\frac{\pi}{6}$
  - $\frac{\sqrt{3} \pi}{8}$
76. एक  $\gamma$  पृष्ठ तनाव के द्रव में विचरित, त्रिज्या  $r$  की गोलाकार कोटर के अन्दर दाब ( $P_{in}$ ) जिस प्रकार बाह्य दाब ( $P_{out}$ ) से सम्बंधित है, वह है
- $P_{in} = P_{out} - \frac{2\gamma}{r}$
  - $P_{in} = P_{out} + \frac{2\gamma}{r}$
  - $P_{in} = P_{out} - \frac{\gamma}{r}$
  - $P_{in} = P_{out} + \frac{\gamma}{r}$
77. विषम लम्बाक्ष एकक सेल के (123) तलों के बीच पृथक्करण 3.12 nm है। (246) तथा (369) तलों के बीच पृथक्करण है क्रमशः:
- 1.56 nm and 1.04 nm
  - 1.04 nm and 1.56 nm
  - 3.12 nm and 1.50 nm
  - 1.04 nm and 3.12 nm
78. एक विद्युत-अपघट्य के विलयन की विशिष्ट चालकता  $0.2 \Omega^{-1} cm^{-1}$  है, तथा सेल नियतांक  $0.25 cm^{-1}$  है, विलयन की चालकता है
- $1.25 \Omega^{-1}$
  - $1.00 \Omega^{-1}$
  - $0.80 \Omega^{-1}$
  - $2.00 \Omega^{-1}$

79. The slope and intercept obtained from  $(1/\text{Rate})$  against  $(1/\text{substrate concentration})$  of an enzyme catalyzed reaction are 300 and  $2 \times 10^5$ , respectively. The Michaelis-Menten constant of the enzyme in this reaction is
- $5 \times 10^6 \text{ M}$
  - $5 \times 10^{-6} \text{ M}$
  - $1.5 \times 10^3 \text{ M}$
  - $1.5 \times 10^{-3} \text{ M}$
80. The term symbol for the ground state of a metal ion is  ${}^3\text{P}_2$ . The residual entropy of a crystal of a salt of this metal ion at 0 K is
- $k_B \ln 1$
  - $k_B \ln 3$
  - $k_B \ln 5$
  - $k_B \ln 7$
81. The number of microstates present in  ${}^3\text{F}$  term is
- 3
  - 21
  - 9
  - 28
82. The numbers of P-S and P-P bonds in the compound  $\text{P}_4\text{S}_3$  are, respectively,
- 6 & 3
  - 4 & 3
  - 3 & 6
  - 6 & 2
79. एंजाइम उत्प्रेरित अभिक्रिया के लिए (1/दर) VS (1/ सबस्ट्रेट सांद्रता) से प्राप्त स्लोप तथा अंतःखंड क्रमशः 300 तथा  $2 \times 10^5$  है। इस एंजाइम के लिए माइकेलिस-मेटेन स्थिरांक इस अभिक्रिया में है।
- $5 \times 10^6 \text{ M}$
  - $5 \times 10^{-6} \text{ M}$
  - $1.5 \times 10^3 \text{ M}$
  - $1.5 \times 10^{-3} \text{ M}$
80. धातु आयन की निम्नतम अवस्था के लए पद प्रतीक  ${}^3\text{P}_2$  है। 0 K पर इस धातु आयन के एक साल्ट के क्रिस्टल की अवशेष एन्ट्रोपी है।
- $k_B \ln 1$
  - $k_B \ln 3$
  - $k_B \ln 5$
  - $k_B \ln 7$
81.  ${}^3\text{F}$  पद में उपस्थित माइक्रोस्टेटों की संख्या है
- 3
  - 21
  - 9
  - 28
82. P-S तथा P-P आबंधों की संख्या यौगिक  $\text{P}_4\text{S}_3$  में है क्रमशः:
- 6 तथा 3
  - 4 तथा 3
  - 3 तथा 6
  - 6 तथा 2

83. The compound which dissolves in  $\text{POCl}_3$  to give a solution with highest chloride ion concentration, is
- $\text{Et}_3\text{N}$
  - $\text{KCl}$
  - $\text{FeCl}_3$
  - $\text{SbCl}_5$
84. Decomposition temperature of  $\text{CaCO}_3$  in thermogravimetric analysis will be highest in dynamic atmosphere of
- nitrogen
  - synthesis gas
  - 1:1 mixture of  $\text{O}_2$  and CO
  - water gas
85. On two sequential electron capture,  ${}_{56}\text{Ba}^{131}$  will give
- ${}_{54}\text{Xe}^{131}$
  - ${}_{54}\text{Xe}^{130}$
  - ${}_{56}\text{Ce}^{131}$
  - ${}_{56}\text{Ce}^{130}$
86. The frontier orbital interactions involved in the formation of the carbocation intermediate in the reaction of isobutylene with  $\text{HCl}$  are
- $\pi$  of olefin and  $\sigma^*$  of  $\text{HCl}$
  - $\pi$  of olefin and  $\sigma$  of  $\text{HCl}$
  - $\pi^*$  of olefin and  $\sigma^*$  of  $\text{HCl}$
  - $\pi^*$  of olefin and  $\sigma$  of  $\text{HCl}$
83. यौगिक जो में विलय के पश्चात् एक सर्वाधिक क्लोराइड आयन सांद्रता का विलयन देता है वह है।
- $\text{Et}_3\text{N}$
  - $\text{KCl}$
  - $\text{FeCl}_3$
  - $\text{SbCl}_5$
84.  $\text{CaCO}_3$  के तापभारात्मक विश्लेषण में अपघटन जिस गतिक वातावरण में सर्वाधिक होगा, वह है
- नाइट्रोजन
  - संश्लेषण गैस
  - $\text{O}_2$  तथा CO का 1:1 मिश्रण
  - जल गैस
85.  ${}_{56}\text{Ba}^{131}$  दो क्रमिक इलेक्ट्रान परिग्रहण के पश्चात् देगा
- ${}_{54}\text{Xe}^{131}$
  - ${}_{54}\text{Xe}^{130}$
  - ${}_{56}\text{Ce}^{131}$
  - ${}_{56}\text{Ce}^{130}$
86. आईसोब्यूटिलीन की  $\text{HCl}$  से अभिक्रिया में कार्बोधनायन मध्यवर्ती के विचरण के लिए जो फ्रंटियर ऑर्बिटल अन्योन क्रियायें सम्भालित होती हैं, वह हैं
- ओलिफिन का  $\pi$  तथा  $\text{HCl}$  का  $\sigma^*$
  - ओलिफिन का  $\pi$  तथा  $\text{HCl}$  का  $\sigma$
  - ओलिफिन का  $\pi^*$  तथा  $\text{HCl}$  का  $\sigma^*$
  - ओलिफिन का  $\pi^*$  तथा  $\text{HCl}$  का  $\sigma$

87. Two aqueous 1:1 electrolyte systems A and B are at different temperatures  $T_A$  and  $T_B$  and  $C_A$  and  $C_B$  concentrations, respectively. Their Debye lengths will be equal if
- $T_A = 2T_B$  and  $C_A = 2C_B$
  - $T_A = 2T_B$  and  $C_A = C_B/2$
  - $T_A = \sqrt{2} T_B$  and  $C_A = 2C_B$
  - $T_A = 2T_B$  and  $C_A = \sqrt{2} C_B$
88. The ionization energy of hydrogen atom in its ground state is approximately 13.6 eV. The potential energy of  $\text{He}^+$ , in its ground state is approximately
- 54.4 eV
  - 27.2 eV
  - 13.6 eV
  - 108.8 eV
89. The point group obtained by adding symmetry operation  $\sigma_h$  to the point group  $C_4$  is
- $S_4$
  - $C_{4h}$
  - $D_{2h}$
  - $D_4$
90. Upon application of a weak magnetic field, a line in the microwave absorption spectrum of rigid rotor splits into 3 lines. The quantum number ( $J$ ) of the rotational energy level from which the transition originates is
- 0
  - 1
  - 2
  - 3
87. दो जलीय 1:1 विद्युत-अपघट्य निकाय A तथा B क्रमशः  $T_A$  भिन्न  $T_B$  तापों तथा सांद्रताओं  $C_A$  तथा  $C_B$  पर हैं। इनकी डेबाई लम्बाईयां सामान होंगी, यदि
- $T_A = 2T_B$  तथा  $C_A = 2C_B$
  - $T_A = 2T_B$  तथा  $C_A = C_B/2$
  - $T_A = \sqrt{2} T_B$  तथा  $C_A = 2C_B$
  - $T_A = 2T_B$  तथा  $C_A = \sqrt{2} C_B$
88. हाइड्रोजन परमाणु की निम्नतम अवस्था में आयनन ऊर्जा लगभग 13.6 eV है।  $\text{He}^+$  की निम्नतम अवस्था में स्थितिज ऊर्जा है लगभग
- 54.4 eV
  - 27.2 eV
  - 13.6 eV
  - 108.8 eV
89. बिंदु समूह  $C_4$  में सममिति संक्रिया  $\sigma_h$  के संकलन से जो बिंदु समूह प्राप्त होता है, वह है
- $S_4$
  - $C_{4h}$
  - $D_{2h}$
  - $D_4$
90. एक दुर्बल चुंबकीय क्षेत्र लगाने पर, दृढ़ घूर्णक के माइक्रोवेव अवशोषण स्पेक्ट्रम में एक लाइन 3 लाइनों में विभाजित हो जाती है। घूर्णत्मक ऊर्जा स्तर जिससे संक्रमण आरम्भ होता है उसकी कांटम संख्या ( $J$ ) है
- 0
  - 1
  - 2
  - 3

91. Heating a sample of  $[(\eta^5\text{-C}_5\text{H}_5)\text{Mo}(\text{CO})_3]_2$  results in the formation of  $[(\eta^5\text{-C}_5\text{H}_5)\text{Mo}(\text{CO})_2]_2$  with elimination of 2 equivalents of CO. The Mo–Mo bond order in this reaction changes from
- 2 to 3
  - 1 to 2
  - 1 to 3
  - 2 to 4
92. The numbers of lines shown by the  $\text{BH}_3$  part of the molecule  $\text{Ph}_3\text{P}.\text{BH}_3$  in the  $^1\text{H}$  and  $^{11}\text{B}$  NMR spectra are, respectively [ $I(^{11}\text{B}) = 3/2$ ;  $I(^{31}\text{P}) = 1/2$ ]
- 8 and 8
  - 4 and 8
  - 3 and 6
  - 6 and 3
93. The g values for  $\text{Ce}^{3+}$  ( $4f^1$ ) and  $\text{Pr}^{3+}$  ( $4f^2$ ) are, respectively
- $3/7$  and  $2/5$
  - $5/7$  and  $4/5$
  - $6/7$  and  $3/5$
  - $6/7$  and  $4/5$
94. The number of 3c-2e bonds present in  $\text{Al}(\text{BH}_4)_3$  is
- 4
  - 3
  - 6
  - 0
91.  $[(\eta^5\text{-C}_5\text{H}_5)\text{Mo}(\text{CO})_3]_2$  के एक नमूने को गर्म करने पर  $[(\eta^5\text{-C}_5\text{H}_5)\text{Mo}(\text{CO})_2]_2$  का विचरण CO के 2 तुल्यों के विलोपन के पश्चात् होता है। इस अभिक्रिया में Mo–Mo आबंध कोटि में जो परिवर्तन होता है वह है
- 2 से 3
  - 1 से 2
  - 1 से 3
  - 2 से 4
92. अणु  $\text{Ph}_3\text{P}.\text{BH}_3$  के लिए  $^1\text{H}$  तथा  $^{11}\text{B}$  NMR स्पेक्ट्रम में  $\text{BH}_3$  भाग द्वारा दर्शायी गए लाइनों की संख्या है क्रमशः
- 8 तथा 8.
  - 4 तथा 8.
  - 3 तथा 6.
  - 6 तथा 3.
93.  $\text{Ce}^{3+}$  ( $4f^1$ ) तथा  $\text{Pr}^{3+}$  ( $4f^2$ ) के लिए g के मान हैं क्रमशः
- $3/7$  तथा  $2/5$
  - $5/7$  तथा  $4/5$
  - $6/7$  तथा  $3/5$
  - $6/7$  तथा  $4/5$
94.  $\text{Al}(\text{BH}_4)_3$  में उपस्थित 3c-2e आबंधों के संख्या है
- 4
  - 3
  - 6
  - 0

95. The complex that shows orbital contribution to the magnetic moment, is
- $[\text{Cu}(\text{H}_2\text{O})_6]^{2+}$
  - $[\text{Ni}(\text{H}_2\text{O})_6]^{2+}$
  - $[\text{Co}(\text{H}_2\text{O})_6]^{2+}$
  - $[\text{Cr}(\text{H}_2\text{O})_6]^{2+}$
96. In a cubic crystal, the plane [100] is equally inclined to the planes
- [010] and [011]
  - [010] and [110]
  - [001] and [101]
  - [110] and [011]
97. The metal transferred by bacteria and fungi using siderophores/siderochromes is
- Mo
  - Cu
  - Fe
  - Zn
98. Self-exchange electron transfer is fastest in
- $[\text{Ru}(\text{NH}_3)_6]^{2+/3+}$
  - $[\text{Co}(\text{NH}_3)_6]^{2+/3+}$
  - $[\text{Cr}(\text{OH}_2)_6]^{2+/3+}$
  - $[\text{Fe}(\text{OH}_2)_6]^{2+/3+}$
99. In neutron activation analysis the radiation commonly detected is
- $\alpha$ - rays
  - $\beta$ -rays
  - $\gamma$ -rays
  - X-rays
95. संकुल जो चुंबकीय आघूर्ण में आर्बिटल योगदान दर्शाता है, वह है
- $[\text{Cu}(\text{H}_2\text{O})_6]^{2+}$
  - $[\text{Ni}(\text{H}_2\text{O})_6]^{2+}$
  - $[\text{Co}(\text{H}_2\text{O})_6]^{2+}$
  - $[\text{Cr}(\text{H}_2\text{O})_6]^{2+}$
96. घनीय क्रिस्टल में [100] तल का जिन तलों के साथ सामान झुकाव होता है, वह है
- [010] and [011]
  - [010] and [110]
  - [001] and [101]
  - [110] and [011]
97. सिडेरोफोरों/सिडेरोक्रोमों का प्रयोग करके बैक्टीरिया/ फंजाई द्वारा स्थानांतरित धातु है
- Mo
  - Cu
  - Fe
  - Zn
98. स्वतः विनिमयी इलेक्ट्रान स्थानांतरण जिसमें तीव्रतम है, वह है
- $[\text{Ru}(\text{NH}_3)_6]^{2+/3+}$
  - $[\text{Co}(\text{NH}_3)_6]^{2+/3+}$
  - $[\text{Cr}(\text{OH}_2)_6]^{2+/3+}$
  - $[\text{Fe}(\text{OH}_2)_6]^{2+/3+}$
99. न्यूट्रॉन सक्रियण विश्लेषण में संसूचित किया जाने वाला विकिरण है
- $\alpha$ - rays
  - $\beta$ -rays
  - $\gamma$ -rays
  - X-rays

100. The coordination number of Gd in  $\text{GdCl}_3 \cdot 6\text{H}_2\text{O}$  is

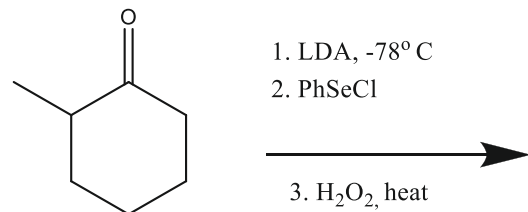
- a. 3
- b. 6
- c. 8
- d. 9

101. The major product formed in the following reaction sequence is

100.  $\text{GdCl}_3 \cdot 6\text{H}_2\text{O}$  में Gd की समन्वय संख्या है

- a. 3
- b. 6
- c. 8
- d. 9

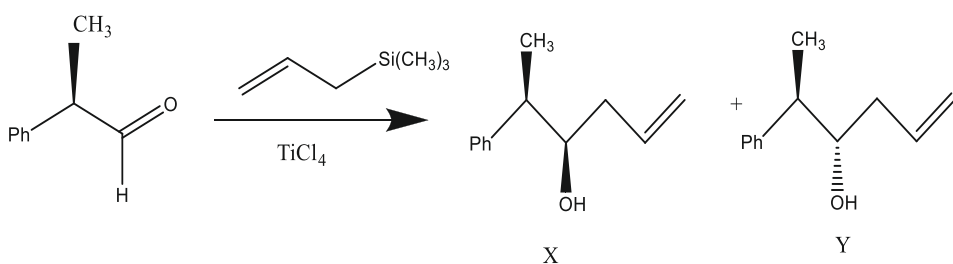
101. निम्नलिखित अभिक्रिया अनुक्रम में बनने वाला प्रमुख उत्पाद है



- a.
- b.
- c.
- d.

- a.
- b.
- c.
- d.

102. In the following reaction,

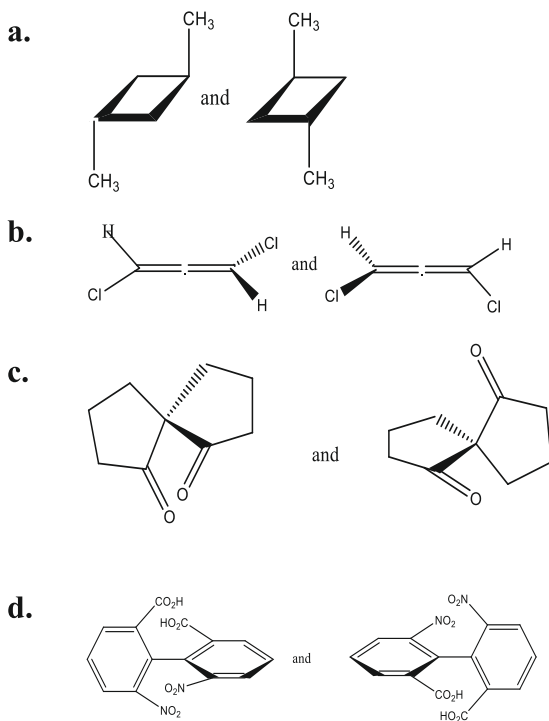


- a. X is the major product and Y is the minor product
- b. X is the only product
- c. Y is the only product
- d. X is the minor product and Y is the major product

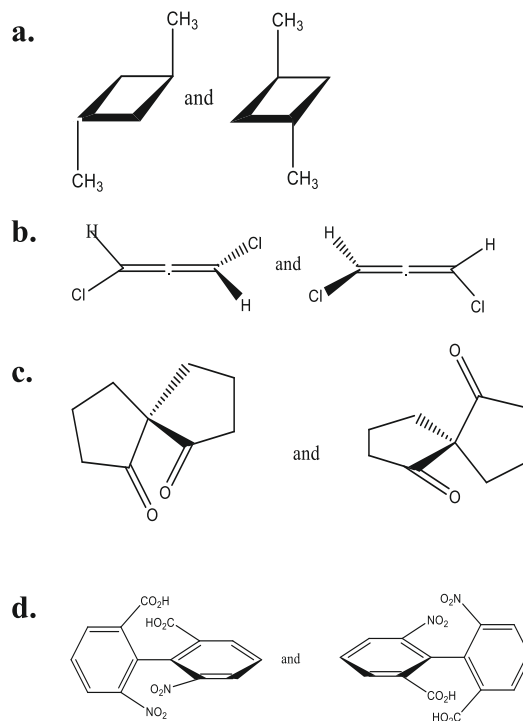
102. निम्नलिखित अभिक्रिया में

- a. X मुख्य उत्पाद तथा Y मामूली उत्पाद
- b. केवल X उत्पाद
- c. केवल Y उत्पाद
- d. X मामूली उत्पाद तथा Y मुख्य उत्पाद

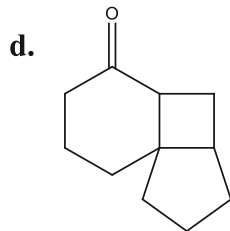
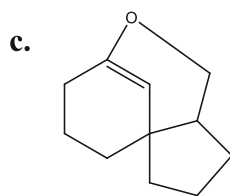
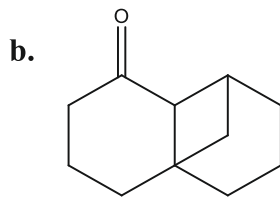
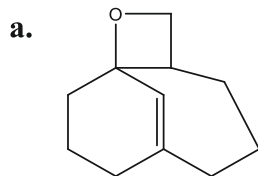
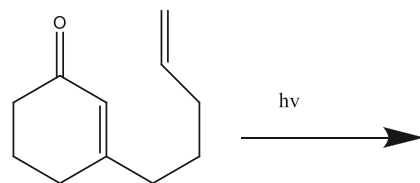
103. The enantiomeric pair, among the following, is



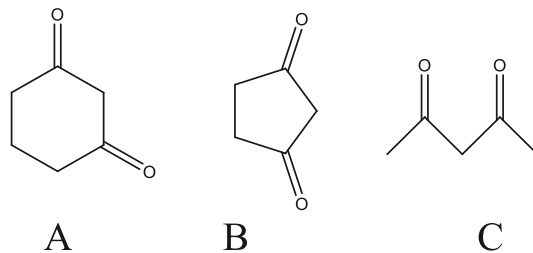
103. निम्नलिखित में से इनेशिओमेरिक जोड़ी है



104. The major product of the following intra-molecular cycloaddition reaction is

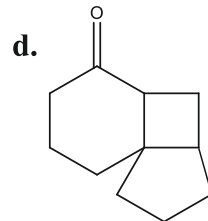
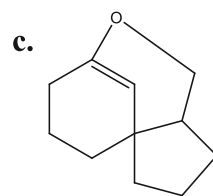
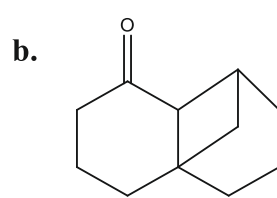
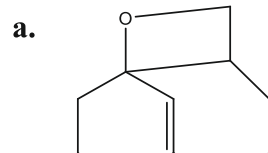


105. The correct order of the acidity for the following compounds is



- a. B > C > A
- b. C > B > A
- c. B > A > C
- d. C > A > B

104. निम्नलिखित इंट्रामॉलिक्यूलर साइक्लोएडीशन प्रतिक्रिया का प्रमुख उत्पाद है:



105. निम्नलिखित यौगिकों की अम्लीयता का सही क्रम है

- a. B > C > A
- b. C > B > A
- c. B > A > C
- d. C > A > B

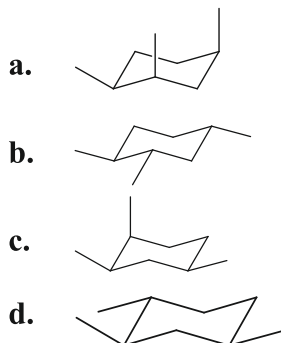
106.  $^1\text{H}$  NMR spectrum of a mixture of benzene and acetonitrile shows two singlets of equal integration. The molar ratio of benzene : acetonitrile is

- a. 1:1
- b. 2:1
- c. 1:2
- d. 6:1

107. The correct statement in the context of NMR spectroscopy is

- a. static magnetic field is used to induce transition between the spin states
- b. magnetization vector is perpendicular to the applied static magnetic field
- c. the static magnetic field is used to create population difference between the spin states
- d. static magnetic field induces spin-spin coupling

108. Among the structures given below, the most stable conformation for the following compound is



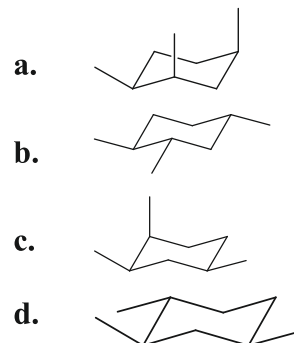
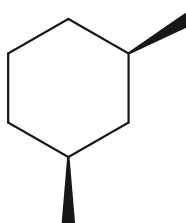
106. बेंजीन तथा ऐसीटोनाइट्रिल के मिश्रण के में समान समाकलन के दो एकक प्राप्त होते हैं।  
बेंजीन : ऐसीटोनाइट्रिल मोलर अनुपात है

- a. 1:1
- b. 2:1
- c. 1:2
- d. 6:1

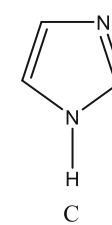
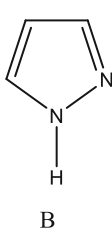
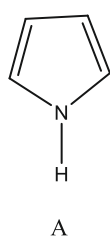
107. NMR स्पेक्ट्रोस्कोपी के संदर्भ में सही कथन है

- a. स्थैतिक चुम्बकीय क्षेत्र का प्रयोग, स्पिन अवस्थाओं के मध्य संक्रमण को प्रेरित करने के लिए किया जाता है।
- b. चुम्बक सदिश, लगाए गए स्थैतिक चुम्बकीय क्षेत्र पर लम्ब होता है।
- c. स्थैतिक चुम्बकीय क्षेत्र का प्रयोग स्पिन अवस्थाओं के मध्य आबादी का अंतर उत्पन्न करने के लिए किया जाता है।
- d. स्थैतिक चुम्बकीय क्षेत्र स्पिन - स्पिन युग्मन को प्रेरित करता है।

108. निम्नलिखित यौगिक के लिए नीचे दिए गए सरंचनाओं में से सर्वाधिक स्थाई संरूपण है



109. The correct order of basicity for the following heterocycles is

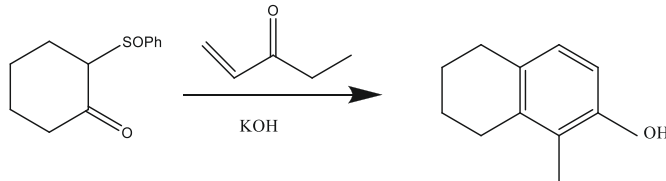


- a. **A > C > B**
- b. **C > A > B**
- c. **C > B > A**
- d. **B > A > C**

110. The organic species isolobal to  $[\text{Fe}(\text{CO})_2(\text{PPh}_3)]^+$  is

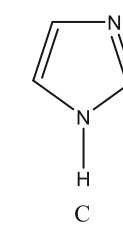
- a.  $\text{CH}_2^+$
- b.  $\text{CH}^-$
- c.  $\text{CH}_3$
- d.  $\text{CH}$

111. Correct sequence of steps involved in the following transformation is



- a. Michael addition, aldol condensation, *syn*-elimination, keto-enol tautomerism
- b. aldol condensation, electrocyclic ring closing, *syn*-elimination, dehydrogenation
- c. Michael addition, Claisen condensation, *anti*-elimination, keto-enol tautomerism
- d. Robinson annulation, dehydrogenation, *anti*-elimination

109. निम्नलिखित हेटेरोसाइकलों की क्षारीयता का सही क्रम है



- a. **A > C > B**
- b. **C > A > B**
- c. **C > B > A**
- d. **B > A > C**

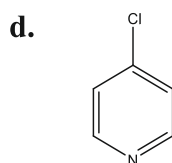
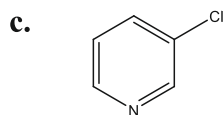
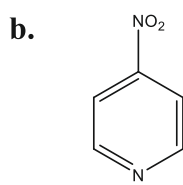
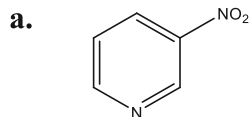
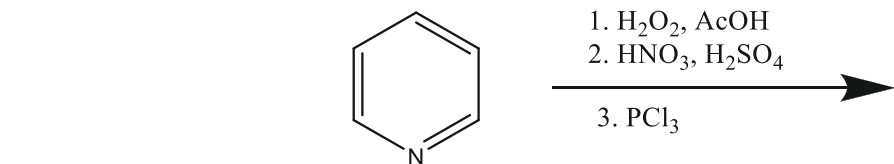
110.  $[\text{Fe}(\text{CO})_2(\text{PPh}_3)]$  से आइसोलोबल कार्बनिक स्पीशीज है

- a.  $\text{CH}_2^+$
- b.  $\text{CH}^-$
- c.  $\text{CH}_3$
- d.  $\text{CH}$

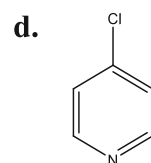
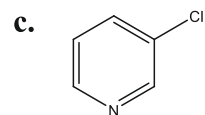
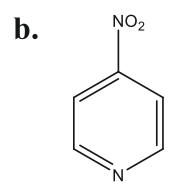
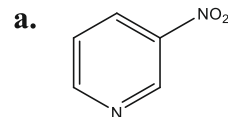
111. निम्न रूपांतरण में अपेक्षित पदों का सही क्रम है

- a. माइकल संकलन, ऐलडोल संघनन, *syn*-विलोपन, कीटो-इनोल चलावयक्ता
- b. ऐलडोल संघनन, इलेक्ट्रोसायिकालिक रिंग क्लोजिंग, *syn*-विलोपन, डीहाईड्रोजनीकरण
- c. माइकल संकलन, कलेजन संघनन, *anti*-विलोपन, कीटो-इनोल चलावयता
- d. रॉबिंसन वलयन, डीहाईड्रोजनीकरण, *anti*-विलोपन

112. The major product formed in the following reaction sequence is

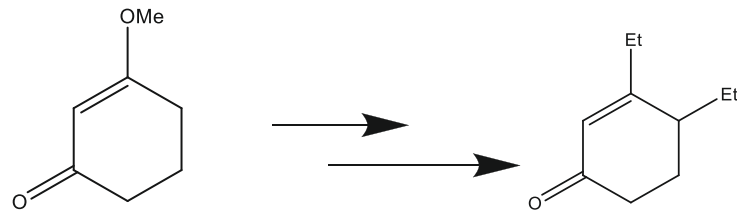


112. निम्नलिखित अभिक्रिया का मुख्य उत्पाद है



113. Correct sequence of reagents to be used for the following conversion is

113. निम्नलिखित रूपांतरण में अभिकर्मकों के प्रयोग किये जाने का सही क्रम है



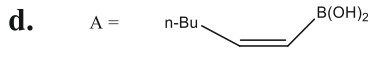
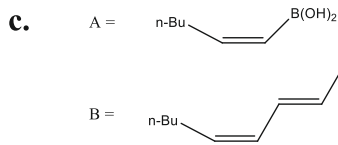
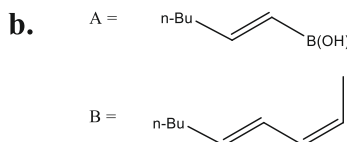
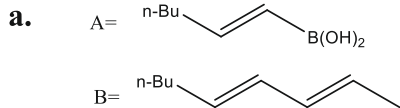
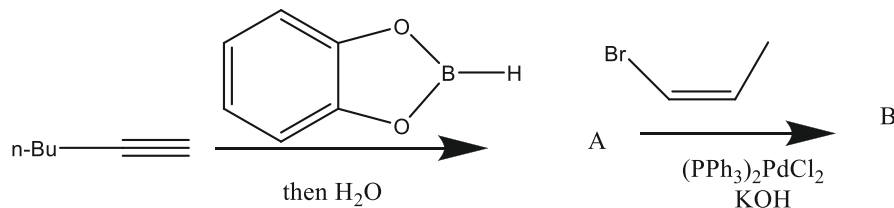
- a. (I) LDA, EtBr; (II) EtLi; (III)  $\text{H}_3\text{O}^+$
- b. (I) EtLi; (II) LDA, EtBr; (III)  $\text{H}_3\text{O}^+$
- c. (I)  $\text{H}_3\text{O}^+$ ; (II) EtLi; (III) LDA, EtBr
- d. (I) EtLi; (II)  $\text{H}_3\text{O}^+$ ; (III) LDA, EtBr

- a. (I) LDA, EtBr; (II) EtLi; (III)  $\text{H}_3\text{O}^+$
- b. (I) EtLi; (II) LDA, EtBr; (III)  $\text{H}_3\text{O}^+$
- c. (I)  $\text{H}_3\text{O}^+$ ; (II) EtLi; (III) LDA, EtBr
- d. (I) EtLi; (II)  $\text{H}_3\text{O}^+$ ; (III) LDA, EtBr

114. Average value of momentum for the ground state of a particle in a 1-d box is zero because

- a.  $[p, H] = 0$
- b.  $V(\text{Potential}) = 0$
- c.  $H$  is hermitian
- d. the state is bound and stationary

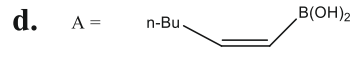
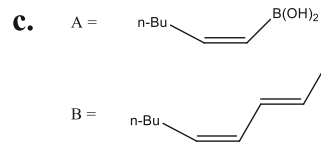
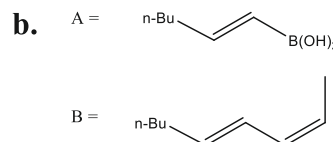
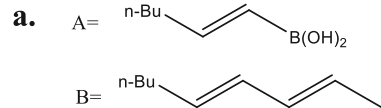
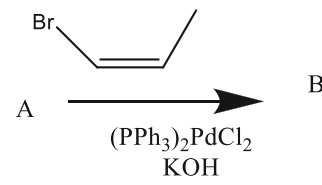
115. The major products **A** and **B** in the following reaction sequence are



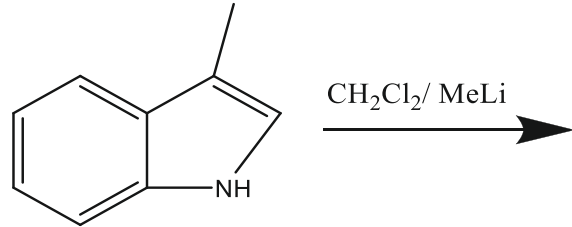
114. 1-d बॉक्स में में उपस्थित कण की निम्नतम अवस्था में औसत संवेग का मान शून्य है क्योंकि

- a.  $[p, H] = 0$
- b.  $V(\text{पोटेंशियल}) = 0$
- c.  $H$  हर्मिटी है
- d. अवस्था परिबंध तथा स्थिर है

115. निम्नलिखित अभिक्रिया का मुख्य उत्पाद **A** तथा **B** है

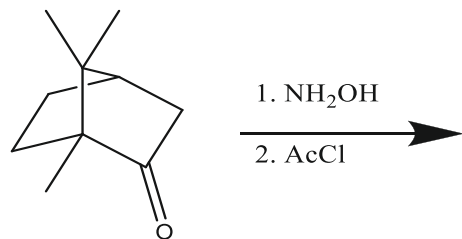


116. The major product formed in the following reaction is



- a.
- b.
- c.
- d.

117. Major product in the following reaction is



- a.
- b.
- c.
- d.

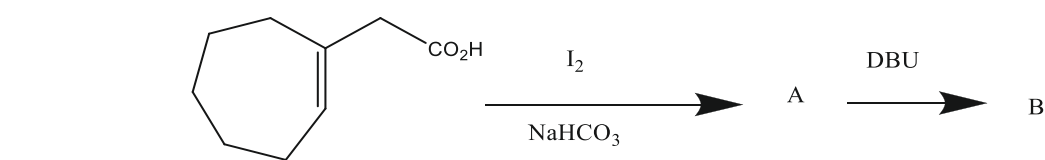
116. निम्नलिखित अभिक्रिया का मुख्य उत्पाद है

- a.
- b.
- c.
- d.

117. निम्नलिखित अभिक्रिया का मुख्य उत्पाद है

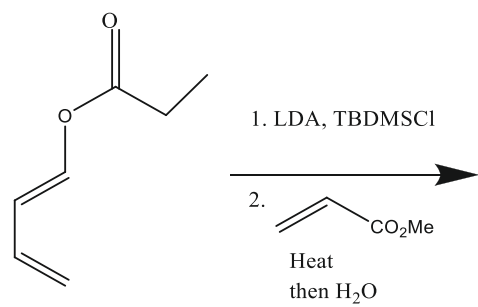
- a.
- b.
- c.
- d.

118. Major products A and B of the following reaction sequence are



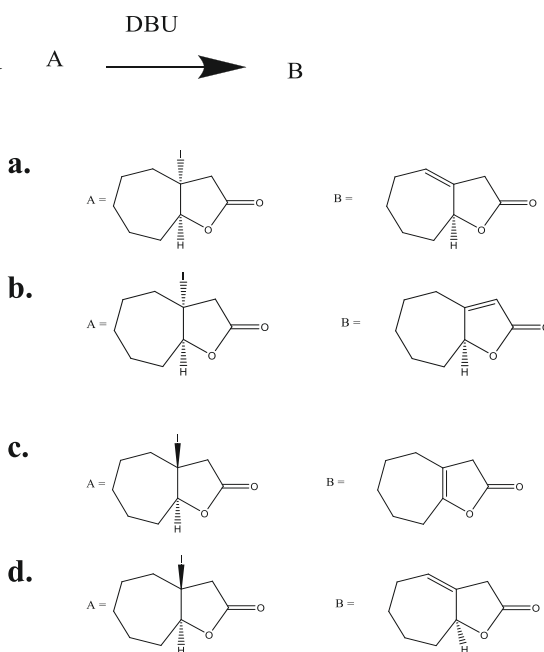
- a. A = B =
- b. A = B =
- c. A = B =
- d. A = B =

119. Major product of the following reaction is



- a.
- b.
- c.
- d.

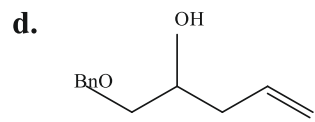
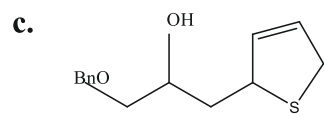
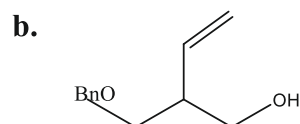
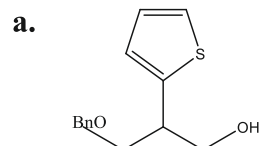
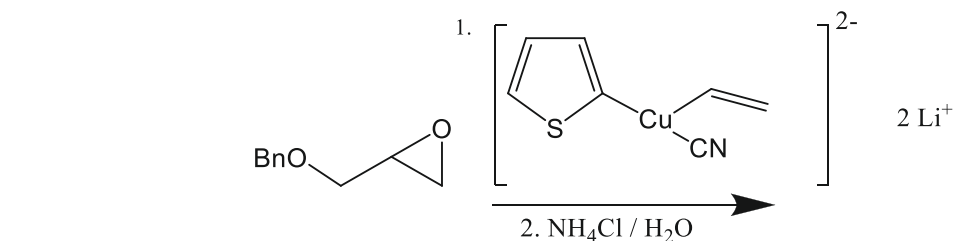
118. निम्नलिखित अभिक्रिया का मुख्य उत्पाद A and B है



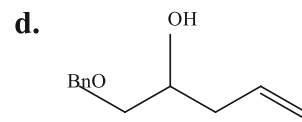
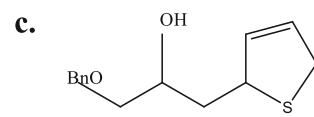
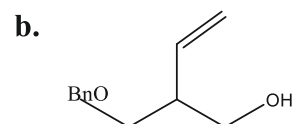
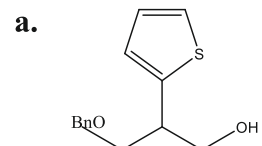
119. निम्नलिखित अभिक्रिया का मुख्य उत्पाद है

- a.
- b.
- c.
- d.

120. The major product formed in the following reaction is



120. निम्न अभिक्रिया में विरचित मुख्य उत्पाद है



## **SPACE FOR ROUGH WORK**

## **SPACE FOR ROUGH WORK**